

PLANCHE I

EXPLICATION DE LA PLANCHE I.

a : Camp d'Ishango. 2 mai 1950.

Photo J. DE HEINZELIN, 1950, 119, Inst. Parcs Nat. Congo Belge.

b : L'exutoire du lac Édouard, source de la Semliki; vue prise vers le sud-ouest, du bord de la plaine, peu à l'est d'Ishango (alt. vers 948-950 m). 2 mai 1950.

Photo J. DE HEINZELIN, 1950, 114, Inst. Parcs Nat. Congo Belge

c : Mupanda, rive gauche de la Semliki; vue vers le sud et l'amont. Septembre 1952.

Photo J. DE HEINZELIN, 1952, Inst. Parcs Nat. Congo Belge.



a



b



c

Ishango et Mupanda.

PLANCHE II

EXPLICATION DE LA PLANCHE II.

a : L'escarpement du Tshiaberimu vu de front. 18 mai 1950.

Photo J. DE HEINZELIN, 1950, 272, Inst. Parcs Nat. Congo Belge.

b : Katanda Sud, vue vers le sud-ouest et l'amont.

On aperçoit bien, à gauche, l'épais recouvrement de cendres volcaniques qui paraît s'arrêter en bordure de la plaine. Les gisements fossilifères du Pléistocène moyen (Katanda 23 m et 30 m s/rivière) sont en contrebas et un peu en arrière de l'observateur. 22 mai 1950.

Photo J. DE HEINZELIN, 1950, 375, Inst. Parcs Nat. Congo Belge.

c : Le vallon de Kiavimara, vu de sa rive gauche, non loin de la Semliki.

On remarque la sculpture très particulière des bords du vallon. 4 juin 1950.

Photo J. DE HEINZELIN, 1950, 527, Inst. Parcs Nat. Congo Belge.



a



b



c

Massif du Tshiaberimu, vallée de la Semliki à Katanda
et Kiavimara.

PLANCHE III

EXPLICATION DE LA PLANCHE III.

a : La boucle de la Semliki entre Ishango et Kabale.

Vue prise de l'arête de la rive droite, vers l'ouest et le nord-ouest. A droite dans la distance, on aperçoit bien la rupture de pente qui conduit de la plaine de remblaiement (Série de la Semliki) à un replat de la terrasse Tt (terrasse contemporaine des tufs volcaniques = terrasse d'Ishango, replat à 10-12 m s/rivière). 17 juillet 1950.

Photo J. DE HEINZELIN, 1950, 1253-1254-1255 en assemblage, Inst. Parcs Nat. Congo Belge.

b : Plaine s'étendant sur la rive gauche de la Semliki.

Au milieu, sortant de l'horizon, le dôme du Mutundu.
Vue prise de Katanda vers le nord-ouest et le nord. 22 juin 1950.

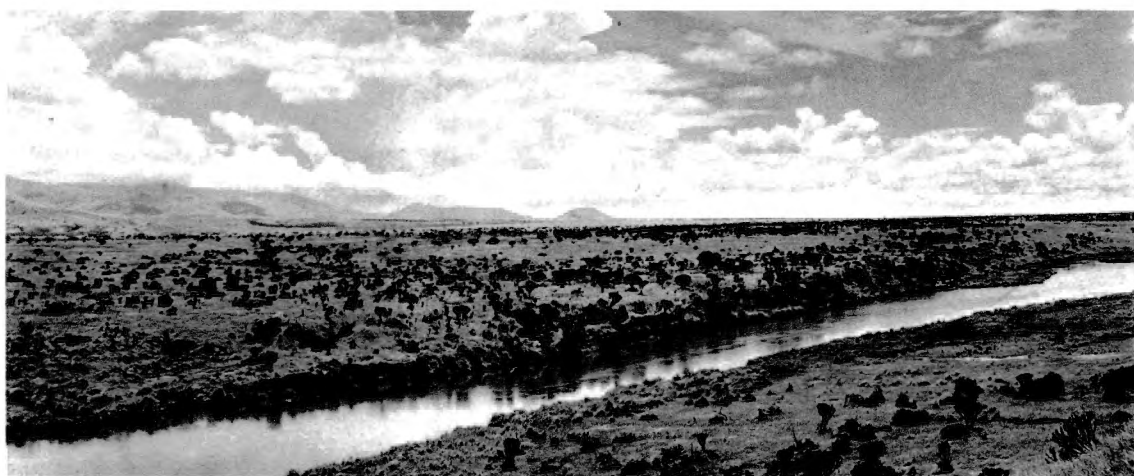
Photo J. DE HEINZELIN, 1950, 377-378 en assemblage, Inst. Parcs Nat. Congo Belge.

c : Dôme du Mbirembu, dans les monts Bukuku; vue prise du sommet 1.200, vers le sud-ouest. 19 juin 1950.

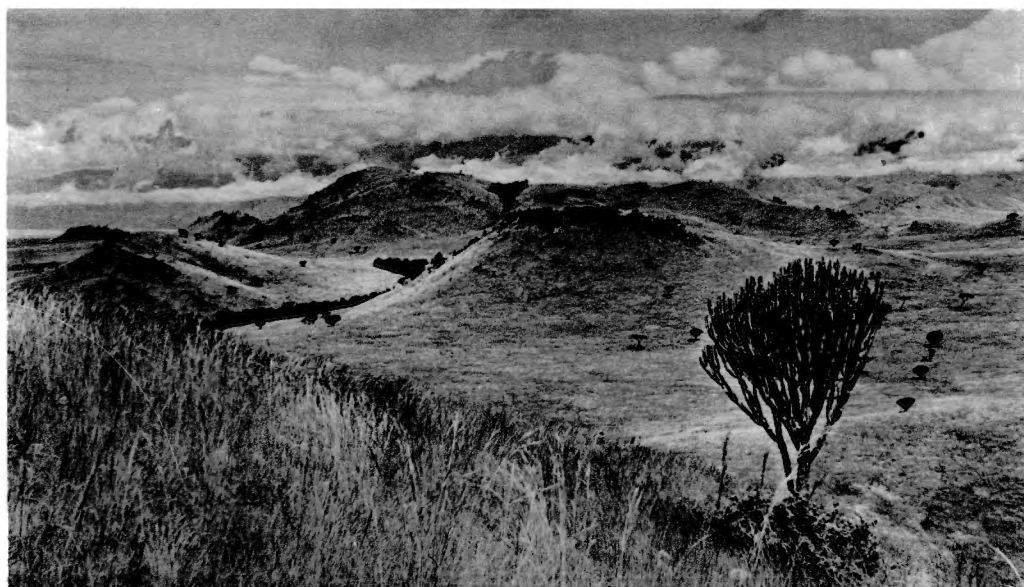
Photo J. DE HEINZELIN, 1950, 307, Inst. Parcs Nat. Congo Belge.



a



b



c

Vallée de la Semliki et Monts Bukuku.

PLANCHE IV

EXPLICATION DE LA PLANCHE IV.

a : La Semliki à hauteur de Senga. Vue prise de la rive gauche vers le nord et l'aval. On aperçoit la ligne des rapides, puis, un peu plus loin, l'expansion alluviale de l'embouchure de la Kasaka. L'observateur se situe à l'emplacement de la coupe figure 8 a (gisement d'Acheuléen africain évolué). 27 juin 1950.

Photo J. DE HEINZELIN, 1950, 940, Inst. Parcs Nat. Congo Belge.

b : Senga, rive droite de la Semliki face à la Kasaka. Affleurement fossilifère de la Série de Kaiso, coupe figure 8 b. 31 mai 1950.

Photo J. DE HEINZELIN, 1950, 501, Inst. Parcs Nat. Congo Belge.

c : La Semliki vue de sa rive gauche à hauteur des vallons Kikuha-Vihoi. L'embouchure de la Museya se situe à gauche et les grandes falaises du Kihandaghati au fond. La silhouette des monts Bukuku se dessine à l'horizon. Septembre 1952.

Photo J. DE HEINZELIN, 1952, Inst. Parcs Nat. Congo Belge.

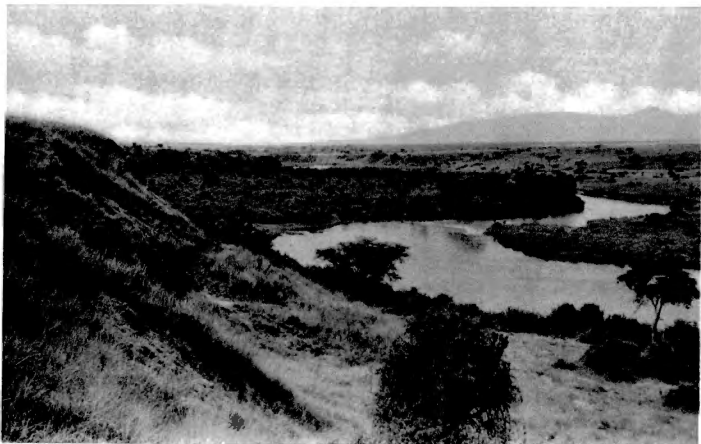
d : Falaise de Kihandaghati, coupe figure 12. 15-16 m sous sommet coupe. Sables à stratification oblique et entrecroisée. 12 juin 1950.

Photo J. DE HEINZELIN, 1950, 705, Inst. Parcs Nat. Congo Belge.

e : Falaise de Kihandaghati, coupe figure 12.

Banc à *Aetheria*. 12 juin 1950.

Photo J. DE HEINZELIN, 1950, 699, Inst. Parcs Nat. Congo Belge.



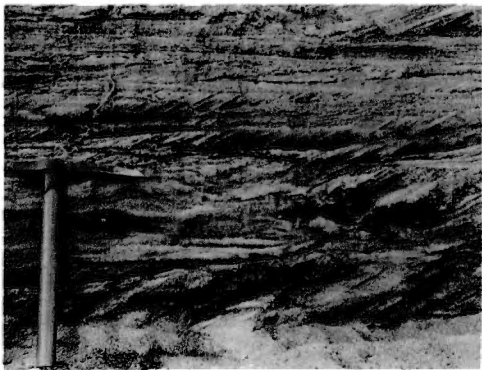
a



c



b



d



e

Vallée de la Semliki, Senga et Kihandaghati.

PLANCHE V

EXPLICATION DE LA PLANCHE V.

a : Affleurements de bancs limonitiques fossilifères et emplacement des tranchées à Kanyatsi. Vue vers le nord-est. 5 juillet 1950.

Photo J. DE HEINZELIN, 1082, Inst. Parcs Nat. Congo Belge.

b : Kanyatsi, tranchée est, bancs E à G et brèche. 5 juillet 1950.

Photo J. DE HEINZELIN, 1950, 1077, Inst. Parcs Nat. Congo Belge.

c : Kanyatsi, tranchée ouest, bancs T à I. 29 juin 1950.

Photo J. DE HEINZELIN, 1950, 1005, Inst. Parcs Nat. Congo Belge.

d : Grandes falaises d'Ishango, un peu à l'ouest du camp.

Coupe figure 17. Paléosols et éclats de quartz dans marnes sableuses. 17 juillet 1950.

- Photo J. DE HEINZELIN, 1950, 1244, Inst. Parcs Nat. Congo Belge.

e : Grandes falaises d'Ishango, un peu à l'ouest du camp.

Coupe figure 17. Paléosols fortement gleyifiés et rubéfiés, concrétionnements dans sables graveleux. 4 juillet 1950.

Photo J. DE HEINZELIN, 1950, 1072, Inst. Parcs Nat. Congo Belge.

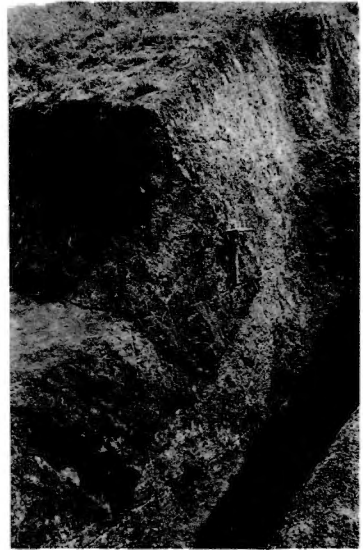
f : Grandes falaises d'Ishango, un peu à l'ouest du camp.

Coupe figure 17, alt. 23-26 m s/rivière. Sables concrétionnés. 17 juillet 1950.

Photo J. DE HEINZELIN, 1950, 1246, Inst. Parcs Nat. Congo Belge



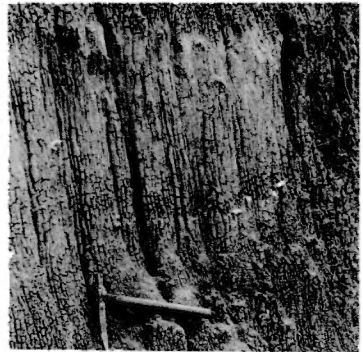
a



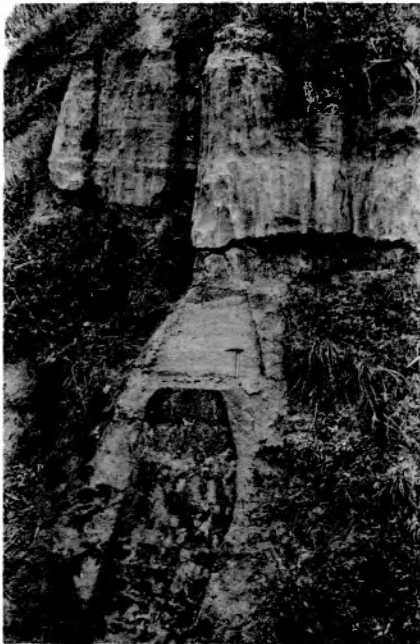
b



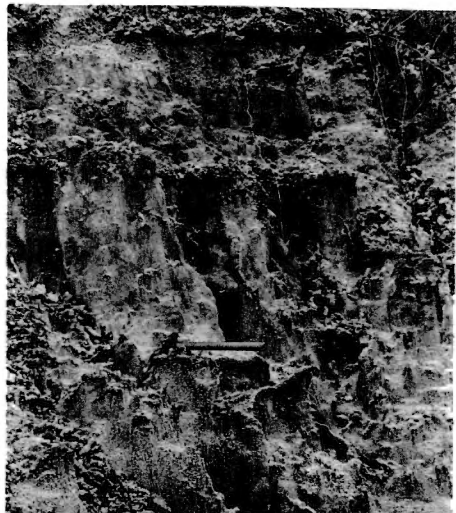
c



d



e



f

Kanyatsi, série de Kaiso et Ishango,
série de la Semliki.

PLANCHE VI

EXPLICATION DE LA PLANCHE VI.

a : Le massif du Ruwenzori vu d'Ishango.

On suit de gauche à droite : front de faille de Vyatungu, massif Stanley et ses glaciers, plateaux de Watamagufu et Batoda rejoignant la pénéplaine de l'Uganda. Plus en avant, les monts Bukuku et les plaines de remblaiement.

Vue vers le nord, 29 avril 1950, 16 h.

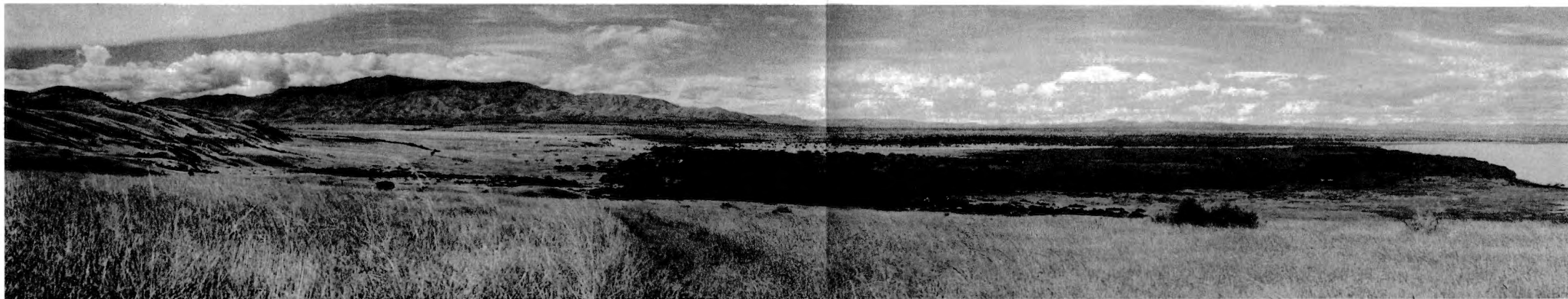
Photo J. DE HEINZELIN, 1950, 97-98 en assemblage, Inst. Parcs Nat. Congo Belge.

b : Le flanc oriental des monts Bukuku, la plaine de la basse Lubilia et la côte du lac Edouard.

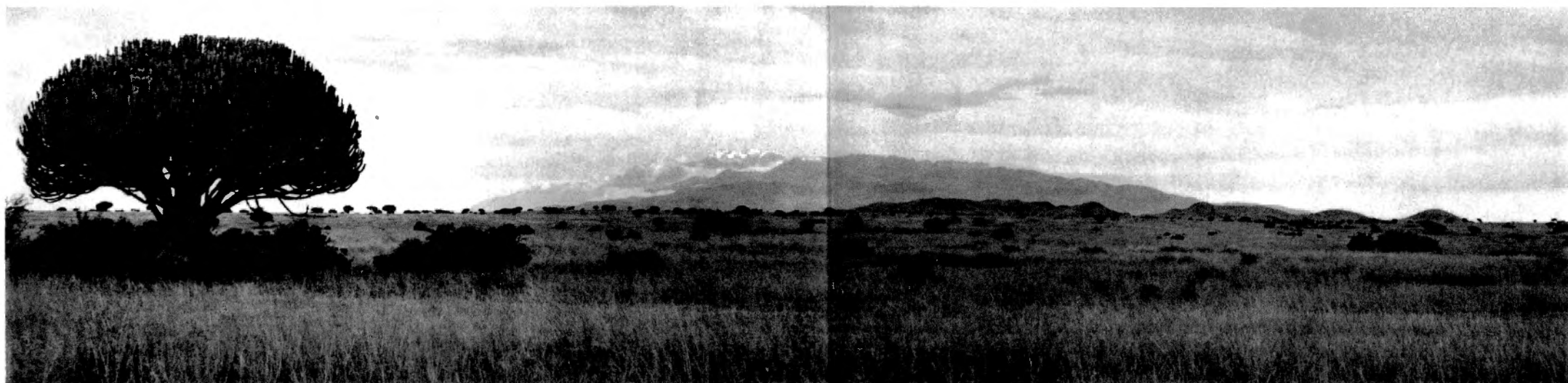
L'escarpement de faille est bien visible, au pied du Kupelu. Le champ d'explosion volcanique de Katwe s'étend dans l'espace plat qui couvre, au-devant de l'horizon, la moitié droite de la photo.

Vue prise de la piste de Kasindi-Lac à Ishango, vers le nord-nord-est et l'est (environ 90° de champ horizontal). 26 mai 1950.

Photo J. DE HEINZELIN, 1950, 422-423-424-425 en assemblage, Inst. Parcs Nat. Congo Belge.



a



b

Vues panoramiques de la basse Lubilia et du massif du Ruwenzori.

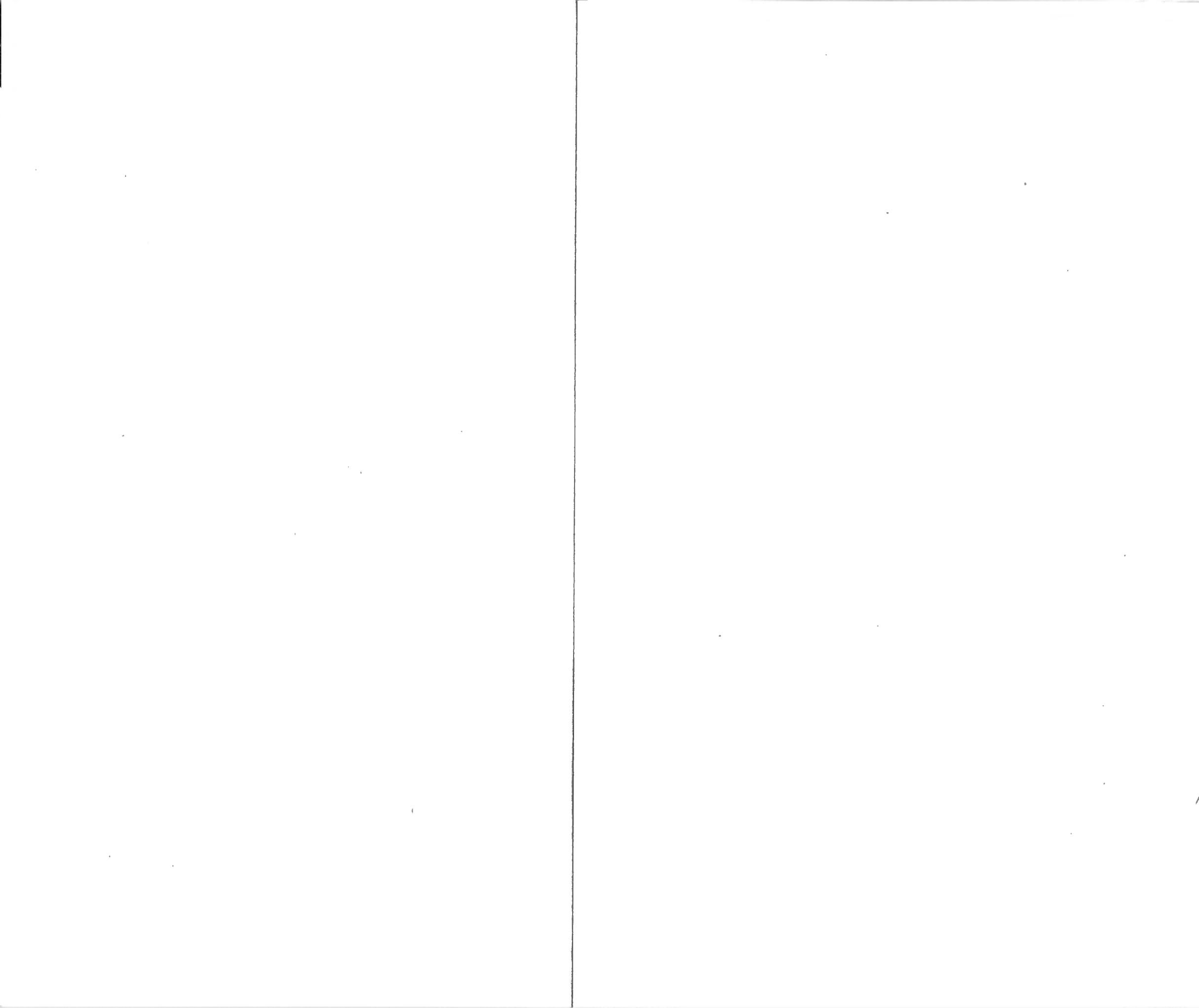


PLANCHE VII

EXPLICATION DE LA PLANCHE VII.

Ravins du flanc oriental des monts Bukuku.

a : Paroi septentrionale du ravin D6. L'escarpement de faille est très apparent, à peine taluté.

Sous un recouvrement assez faible de cendres volcaniques on voit un paléosol rouge et des dépôts graveleux couronnant des sables grossiers rapportés à la Série de la Semliki. 19 mai 1950.

Photo J. DE HEINZELIN, 1950, 306, Inst. Parcs Nat. Congo Belge.

b : Paroi méridionale du ravin D5. Des fractures et des déplacements en paquets atteignent le recouvrement de cendres volcaniques. 19 mai 1950.

Photo J. DE HEINZELIN, 1950, 327, Inst. Parcs Nat. Congo Belge.

c : Paroi méridionale du ravin D2. Les sables grossiers et graveleux rapportés à la Série de la Semliki sont très inclinés.

On devine, frangeant le bord de la plateforme du ravin, les dépôts subhorizontaux de boulders, les sols rouges graveleux et les bancs de recouvrement cinéritique (respectivement B, C et D de la coupe fig. 24). 19 juin 1950.

Photo J. DE HEINZELIN, 1950, 836, Inst. Parcs Nat. Congo Belge.

d : Paroi sud-occidentale du ravin K2, au-dessus de Kasindi-Lac.

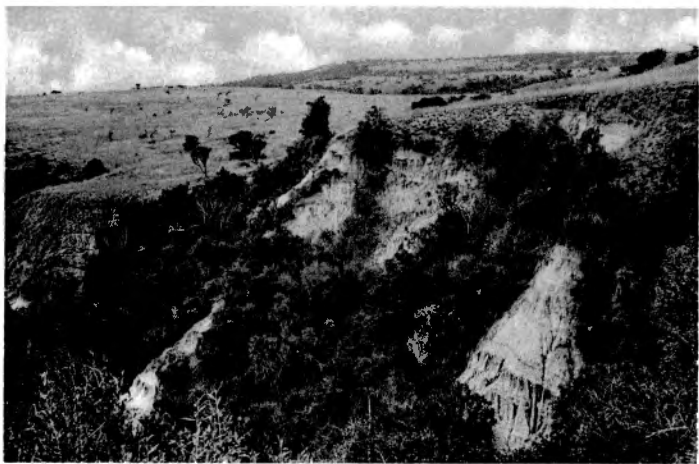
On aperçoit distinctement la faille qui a abaissé le compartiment distal, qui s'étend en contrebas. A l'extrême gauche et à l'extrême droite de la photo, on aperçoit des cendres volcaniques qui formaient primitivement un revêtement continu.

Les couches de sable graveleux attribués à la Série de la Semliki pendent vers l'escarpement, à droite. 29 juin 1950.

Photo J. DE HEINZELIN, 1950, 984, Inst. Parcs Nat. Congo Belge.



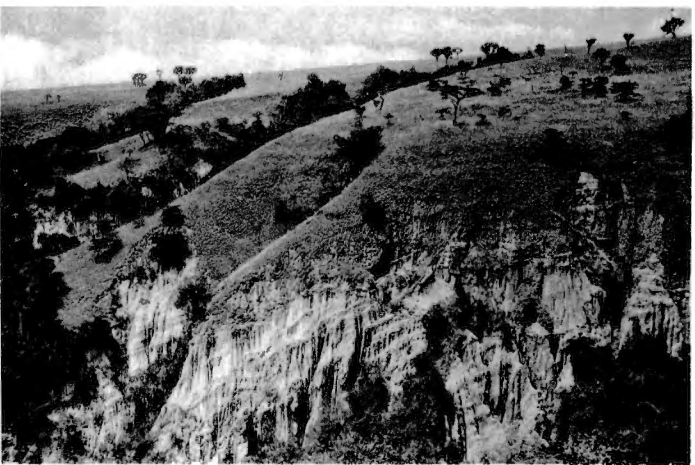
b



d



a



c

Ravins du flanc oriental des Monts Bukuku.

PLANCHE VIII

EXPLICATION DE LA PLANCHE VIII.

a : Sommet des grandes falaises de Rwamabingu, rive droite de la Lubilia, vues de l'aval vers l'amont. On voit la succession suivante : recouvrement de cendres volcaniques / paléosol rouge / sables graveleux et bancs de boulders ou de graviers. 28 juin 1950.

Photo J. DE HEINZELIN, 1950, 951, Inst. Parcs Nat. Congo Belge.

b : Extrémité aval des grandes falaises de Rwamabingu, vues de l'amont vers l'aval. 28 juin 1950.

Photo J. DE HEINZELIN, 1950, 952, Inst. Parcs Nat. Congo Belge.

c : Mupanda, tête de ravin de la rive gauche de la Semliki montrant une grande épaisseur de cendres volcaniques. Septembre 1952.

Photo J. DE HEINZELIN, 1952, Inst. Parcs Nat. Congo Belge.

d : Le contact de la plaine de remblaiement et du bord occidental des monts Bukuku, entre le Kupelu et le Mbirembu.

Vue vers le nord-est, au matin. 19 mai 1950.

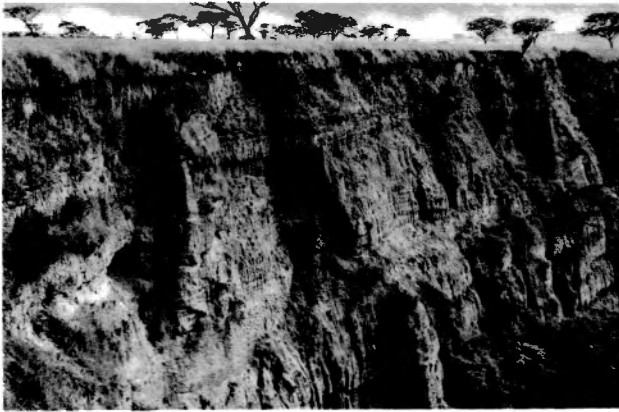
Photo J. DE HEINZELIN, 1950, 292, Inst. Parcs Nat. Congo Belge.

e : Escarpement de faille du flanc oriental des monts Bukuku, à peu près à hauteur de Vieux-Kasindi. 26 juin 1950.

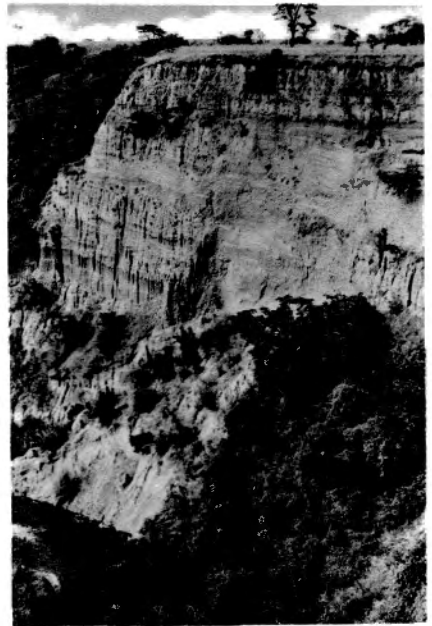
Photo J. DE HEINZELIN, 1950, 432, Inst. Parcs Nat. Congo Belge.

f : Escarpement de faille complexe un peu au sud du précédent. 26 juin 1950.

Photo J. DE HEINZELIN, 1950, 431, Inst. Parcs Nat. Congo Belge.



a



b



c



e



d



f

Plaine de la Semliki,
Monts Bukuku et plaine de la Lubilia.

